



茶树异胡豆昔合成酶基因的全基因组鉴定和表达分析

周棋赢, 姜慧敏, 李拉拉, 袁红雨, 张瑞娇, 王仪佳

引用本文:

周棋赢, 姜慧敏, 李拉拉, 袁红雨, 张瑞娇, 王仪佳. 茶树异胡豆昔合成酶基因的全基因组鉴定和表达分析[J]. 信阳师范学院学报自然科学版, 2021, 34(4): 596–605. doi: 10.3969/j.issn.1003-0972.2021.04.015

ZHOU Qiying, JIANG Huimin, LI Lala, YUAN Hongyu, ZHANG Ruijiao, WANG Yijia. Genome-wide Identification and Expression Analysis of Strictosidine Synthase Gene in Tea Plant[J]. *Journal of Xinyang Normal University (Natural Science Edition)*, 2021, 34(4): 596–605. doi: 10.3969/j.issn.1003-0972.2021.04.015

在线阅读 View online: <https://doi.org/10.3969/j.issn.1003-0972.2021.04.015>

您可能感兴趣的其他文章

Articles you may be interested in

茶树NAC基因的鉴定及其在逆境反应中的表达调控分析

Genome-wide Identification of NAC Genes in Tea Plant and Its Expression Regulation in Stress Response
信阳师范学院学报自然科学版, 2020, 33(4): 567–578. <https://doi.org/10.3969/j.issn.1003-0972.2020.04.010>

大豆BGLU基因家族全基因组鉴定与表达分析

Genome-wide Identification and Expression Analysis of BGLU Family Genes in Soybean
信阳师范学院学报自然科学版, 2019, 32(3): 372–378. <https://doi.org/10.3969/j.issn.1003-0972.2019.03.006>

大豆bHLH转录因子家族成员的进化及功能分化研究

Evolution and Function Divergence Analysis of the bHLH Transcription Factor Family in Soybean(*Glycine max L.*)
信阳师范学院学报自然科学版, 2019, 32(1): 27–38. <https://doi.org/10.3969/j.issn.1003-0972.2019.01.006>

茉莉酸对水稻根系生长素合成及运输的调控

Research of Jasmonic acid Modulated Auxin Biosynthesis and Transport in Rice Root
信阳师范学院学报自然科学版, 2021, 34(3): 448–451. <https://doi.org/10.3969/j.issn.1003-0972.2021.03.017>

茶树基因组研究进展

Advances in Genome Research of Tea Plant
信阳师范学院学报自然科学版, 2021, 34(4): 606–613. <https://doi.org/10.3969/j.issn.1003-0972.2021.04.016>

DOI:10.3969/j.issn.1003-0972.2021.04.015

文章编号: 1003-0972(2021)04-0596-10

茶树异胡豆苷合成酶基因的全基因组 鉴定和表达分析

周棋瀛^{a*}, 姜慧敏^a, 李拉拉^b, 袁红雨^a, 张瑞娇^a, 王仪佳^a

(信阳师范学院 a.生命科学学院/河南省茶树生物学重点实验室/河南省茶叶精深加工工程技术研究中心/
大别山农业生物资源保护与利用研究院; b.国际教育学院,河南 信阳 464000)

摘要:基于隐马可夫模型检索和序列比对,从茶树基因组鉴定出17个异胡豆苷合成酶(Strictosidine synthase, STR)基因(CsSTR1~17)。理化分析表明,CsSTR蛋白长度在147~552个氨基酸之间,分子量介于15.6~60.8 kD,等电点介于4.65~10.88,除CsSTR3、4、9、10、11和13,其他CsSTR都为亲水性蛋白。物种进化分析结果表明,CsSTR3、4、10、11、12、13、14与蛇根木、萝芙木、长春花和喜树中的STR位于同一进化分支;但进化关系较近的CsSTR基因间,其内含子数目和长度、蛋白保守基序的数量和类型不同。表达分析结果显示,CsSTR基因表达受低温、干旱、盐胁迫以及茉莉酸甲酯调控,大部分CsSTR基因在顶芽、成熟叶和根中具有较高的表达量。启动子分析结果表明,CsSTR基因启动子区含有许多与生长发育和逆境反应相关的元件。ERF、MYB、Zinc Finger、bZIP家族转录因子是与CsSTR基因启动子结合较多的蛋白。

关键词:茶树;异胡豆苷合成酶;鉴定;表达分析

中图分类号:Q601 文献标识码: A

开放科学(资源服务)标识码(OSID):



Genome-wide Identification and Expression Analysis of Strictosidine Synthase Gene in Tea Plant

ZHOU Qiying^{a*}, JIANG Huimin^a, LI Lala^b, YUAN Hongyu^a, ZHANG Ruijiao^a, WANG Yijia^a

(a. College of Life Sciences/Henan Key Laboratory of Tea Plant Biology/Henan Engineering Research Center of Tea Deep-processing/Institute for Conservation and Utilization of Agro-bioresources in Dabie Mountains;

b. College of International Education, Xinyang Normal University, Xinyang 464000, China)

Abstract:Based on the Hidden-Markov model searching and sequence alignment, 17 STRs (CsSTR1~17) were identified from the tea plant genome. Physicochemical analysis showed that CsSTR proteins was 147 to 552 amino acids in length, with molecular weight from 15.6 to 60.8 kD, and isoelectric point from 4.65 to 10.88. Except CsSTR3, 4, 9, 10, 11 and 13, the other CsSTR proteins were hydrophilic. Phylogenetic analysis showed that CsSTR3, 4, 10, 11, 12, 13, 14 were located in the same evolutionary branch as the STRs from *Rauvolfia serpentine*, *Rauvolfia verticillata*, *Catharanthus roseus* and *Camptotheca acuminata*, respectively. However, the number and length of CsSTR gene introns and the number and conserved CsSTR protein motifs were different among CsSTR genes with close evolutionary relationship. Expression analysis showed that CsSTR gene expression was regulated by low temperature, drought and salt stresses and methyl jasmonate, most CsSTR genes were highly expressed in apical bud, mature leaf and root. Cis-elements related to growth, development and stress response were abundant in the promoter regions of CsSTR genes. ERF, MYB, Zinc Finger, and bZIP transcription factors were protein families which had lots of binding sites in the CsSTR gene promoters.

Key words: *Camellia sinensis*; STR; identification; expression analysis

收稿日期:2020-06-10;修订日期:2021-07-25; *通信联系人,E-mail:zhouqy@xynu.edu.cn

基金项目:国家自然科学基金项目(U1404319);河南省科技计划项目(202102110230, 212102110399, 182102110449);安徽省研究人员科研基金项目(2017B190);南湖青年学者奖励计划项目(2016060);信阳师范学院大学生科研基金项目(2019-DXS-088, 2020-DXSDXSDXS-147)

作者简介:周棋瀛(1984—),男,河南商城人,讲师,博士,主要从事茶树优质基因的挖掘与利用研究。

0 引言

萜类吲哚生物碱(Terpenoid indole alkaloids, TIAs)是一大类有着重要药用价值的生物碱,具有显著的抗肿瘤、降血压、降血糖和抗心律失常等活性^[1-2].异胡豆苷合成酶(Strictosidine synthase, STR)催化裂环马钱子苷和色胺发生立体选择性的Pictet-Spengler缩合反应,生成TIAs合成的通用前体——异胡豆苷,异胡豆苷再在各种酶的参与下转化为各种TIAs^[1-2].因此,STR位于吲哚类生物碱合成途径的咽喉位置,是TIAs代谢工程中常用候选基因和作用靶点^[2-3].转化STR基因的长春花细胞中TIAs的积累增加了约65倍^[2,4].过量表达长春花STR基因使烟草中STR的活性比长春花中STR的活性提高了3~22倍^[5-6].

20世纪70年代末,人们最早从夹竹桃科植物长春花中分离到了异胡豆苷合成酶STR^[7].20世纪80年代初,利用分子生物学技术,STR基因的cDNA序列首次从蛇根木(*Rauvolfia serpentina*)悬浮细胞中得到克隆,命名为STR1.STR1编码344个氨基酸,分子量约为35.3 kDa,并通过异源表达实现了STR1蛋白在大肠杆菌中的诱导表达^[5-6].随后,人们陆续从长春花、短小蛇根草、萝芙木和日本蛇根草等植物中克隆得到了STR基因^[6,8-9].三维结构研究显示,STR1整体结构为六叶β-螺旋桨状,每叶由4个反平行的β折叠片组成.在β螺旋桨结构中有3个α螺旋,其外部和内部的两个α螺旋由Cys-89和Cys-101形成的二硫键连接,这是STR的一个普遍特征^[10].

研究还发现STR在植物的抗逆反应中有重要作用^[11-13].用PEG6000模拟干旱处理长春花叶片,发现STR基因表达量随胁迫时间的延长、胁迫强度增强而增加,进而诱导了TIAs的合成^[14].NaCl处理下,STR基因的表达量增加了近两倍^[15].低温处理引起STR的表达下调,并使TIAs的含量降低;加入CaCl₂后,STR表达上调,下游TIAs的含量也会增加^[15].用瓜果腐霉诱导子处理长春花悬浮培养细胞,会诱导STR活性的增强^[14,16].LI-ANG等^[17]的研究发现,黄曲霉诱导子能够诱导STR基因表达,导致TIAs在长春花形成层细胞中的积累.拟南芥STR基因SSL5、6、7能被植物防御信号SA、MeJA、ET、伤信号以及病原菌侵染诱导,暗示它们在植物的诱导防御反应中有重要作用^[18].烟草天蛾咬食长春花后,咬食叶中会积累大

量的异胡豆苷,新长出的叶中则积累了大量TIAs, TIAs在取食烟草天蛾肠道中的聚集导致其快速死亡^[13].

茶树是一种重要的经济作物,低温、干旱和高盐等逆境常影响茶树的生长发育,降低茶叶的产量和品质^[19].中国自古就有“神农尝百草,日遇七十二毒,得茶而解之”的历史记载.现代科学研究也发现,茶在保护人类健康方面具有重要作用^[20].近几年来,茶树基因组测序在不同品种中陆续完成^[21],但目前对于茶树异胡豆苷合酶(CsSTR)基因的研究还未见报道.因此,对茶树异胡豆苷合酶基因进行鉴定,并对其表达模式进行研究,对于利用栽培手段调控茶树TIAs的积累以及茶树的抗性育种都具有重要的指导意义.

1 材料和方法

1.1 CsSTR基因的鉴定和序列分析

参考周棋赢等^[22]的方法,首先从茶树基因组数据库<http://pcsb.ahau.edu.cn:8080/CSS/>^[21]下载“舒茶早”茶树品种的基因组、蛋白质和CDS序列.然后,从Pfam网站(<https://pfam.xfam.org/>)下载STR保守结构域的隐马可夫种子文件(PF03088),利用HMMER软件(V3.2.1)检索茶树蛋白质数据库,阈值设置为0.001.同时,根据BRACHER和KUTCHAN^[23]、SUN等^[24]的报道,以蛇根木和喜树STR的蛋白质序列(Genbank登录号分别为CAA44208和AES93117)为“query sequences”,利用BlastP比对茶树蛋白质数据库,阈值设置为1e⁻¹⁰.对上述两种方法获取的STR基因的CDS序列进行分析,除去无完整编码框的STR基因.将余下STR基因编码的蛋白序列提交到SMART网站(<http://smart.embl-heidelberg.de>)对保守结构域进行再次确认,去除无STR结构域以及STR结构域长度小于90个氨基酸的序列,余下的STR蛋白即为茶树STR(CsSTR)家族成员.

利用ExPASy网站(<http://web.expasy.org/protparam/>)对CsSTR蛋白的长度、分子量、等电点和总平均亲水系数(GRAVY值)进行分析.利用pLoc-mPlant(<http://www.jci-bioinfo.cn/pLoc-mPlant/>)在线工具对CsSTR蛋白的亚细胞定位进行分析.

1.2 CsSTR基因家族系统进化树构建

根据KIBBLE和ZOU等^[25-26]报道的数据,分

别从拟南芥基因组数据库(<https://www.arabidopsis.org/>)和水稻基因组数据库(<http://rice.plantbiology.msu.edu/>)获取拟南芥和水稻STR蛋白序列。从Genbank数据库获取夹竹桃科植物蛇根木、萝芙木、长春花、小曼长春花,茜草科植物蛇根草以及蓝果树科植物喜树中STR的蛋白质序列。利用MEGAX软件中的ClustalW程序进行序列比对,采用最大似然法(ML)构建分子进化树,Bootstrap重复设置为1 000次。

1.3 CsSTR基因结构和蛋白保守结构域分析

利用MEME 5.3.3(<http://meme-suite.org/tools/meme>)在线工具,对CsSTR蛋白的保守基序进行预测分析;设定保守基序(motif)大小为默认参数,输出结构域最大数目为15。根据“舒茶早”茶树基因组数据库中CsSTR基因的DNA序列和mRNA序列,对CsSTR基因的结构进行分析;利用TBtools工具^[24]进行可视化作图。

1.4 CsSTR基因表达分析

从公共数据库分别下载茶树不同组织器官在冷驯化、聚乙二醇(PEG)模拟干旱处理、NaCl处理、茉莉酸甲酯(MeJA)处理后的转录组数据^[21, 27-28]。以“舒茶早”茶树基因组为参考,利用Tophat和Cufflink软件对茶树基因在不同器官和上述不同处理下的表达量进行计算,以FPKM

(Fragments Per Kilobases per Million reads)值表示。提取CsSTR基因在不同组织器官冷驯化、PEG处理、NaCl处理、MeJA处理后的FPKM值,使用TBtools工具绘制基因表达量热图。

1.5 CsSTR基因启动子顺式作用元件分析

从“舒茶早”茶树基因组数据库^[26]获取CsSTR基因起始密码上游2 Kb的DNA序列,将其作为CsSTR基因的启动子。利用PlantCARE在线工具(<http://bioinformatics.psb.ugent.be/webtools/plantcare/html/>)对CsSTR基因启动子的顺式调控元件进行分析。

1.6 CsSTR基因转录调控分析

从茶树基因组数据库分别获取17个CsSTR基因起始密码子ATG上游600 bp核酸序列,使用PlantRegMap(<http://plantregmap.cbi.pku.edu.cn/>)工具对与这些核酸序列结合的转录因子进行预测分析,阈值设置为 $p \leq 1e^{-5}$ 。然后利用Cytoscape(V3.7.2)软件绘制CsSTR基因的转录调控网络图。

2 结果与分析

2.1 CsSTR基因家族及其分子特征

结合HMMER检索和BlastP比对茶树蛋白库的结果,从茶树基因组数据库中共鉴定出17个

表1 茶树STR基因的基本信息

Tab. 1 Basic information of STR genes in tea plant

基因	基因登录号	氨基酸长度/个	分子量/kD	等电点	总平均亲水性	拟南芥同源物	e值	亚细胞定位
CsSTR1	TEA012295.1	462	51.0	7.25	-0.062	AT3G57030.1	$6e^{-151}$	液泡
CsSTR2	TEA012303.1	162	18.1	8.49	-0.259	AT2G41290.1	$1e^{-53}$	液泡
CsSTR3	TEA022196.1	309	33.7	9.72	0.241	AT3G57030.1	$1e^{-58}$	液泡
CsSTR4	TEA022212.1	248	26.7	6.42	0.26	AT1G74020.1	$3e^{-52}$	液泡
CsSTR5	TEA007771.1	406	46.3	6.53	-0.239	AT3G59530.3	0.0	液泡
CsSTR6	TEA031115.1	166	18.7	9.64	-0.224	AT3G57030.1	$5e^{-63}$	液泡
CsSTR7	TEA023543.1	446	50.7	8.69	-0.067	AT2G41290.1	$4e^{-125}$	液泡
CsSTR8	TEA008412.1	539	60.3	5.95	-0.486	AT1G08470.1	$2e^{-158}$	液泡
CsSTR9	TEA013964.1	227	25.2	5.88	0.043	AT3G51440.1	$1e^{-36}$	液泡
CsSTR10	TEA030459.1	147	15.6	4.65	0.173	AT3G57030.1	$4e^{-40}$	液泡
CsSTR11	TEA021112.1	203	21.9	4.74	0.518	AT3G57030.1	$1e^{-22}$	液泡
CsSTR12	TEA017371.1	244	26.0	9.45	-0.093	AT3G57030.1	$1e^{-47}$	液泡
CsSTR13	TEA007193.1	233	25.5	9.14	0.018	AT1G74010.1	$4e^{-50}$	液泡
CsSTR14	TEA007196.1	305	34.3	10.88	-0.173	AT1G74010.1	$2e^{-23}$	液泡
CsSTR15	TEA003211.1	552	60.8	5.49	-0.346	AT3G51430.1	$7e^{-91}$	液泡
CsSTR16	TEA003215.1	487	55.1	4.84	-0.408	AT3G51430.2	$3e^{-128}$	液泡
CsSTR17	TEA003216.1	424	47.4	4.98	-0.11	AT3G51430.2	$1e^{-130}$	液泡

STR 基因,分别命名为 CsSTR1~CsSTR17.对其编码蛋白的特征分析结果显示(表1),组成 CsSTR 蛋白的氨基酸数目差异很大,长度介于 147~552 个氨基酸之间,对应蛋白的大小介于 15.6~60.8 kD;其中 CsSTR15 蛋白最长,CsSTR10 蛋白最短.蛋白质等电点分析结果显示,CsSTR 蛋白的等电点大小介于 4.65~10.88.CsSTR3、4、9、10、11 和 13 蛋白的平均亲水系数大于 0,表明这些 CsSTR 蛋白可能为疏水性蛋白;而其他 CsSTR 蛋白的平均亲水系数小于 0,表明它们可能为亲水蛋白.通过与拟南芥蛋白数据库进行序列比对分析,得到了各 CsSTR 蛋白的最高同源物,对于利用模式植物拟南芥中 STR 蛋白的研究成果来探索 CsSTR 的功能具有重要意义.亚细胞定位预测分析结果显示,CsSTR 蛋白都定位于液泡.

2.2 *CsSTR* 基因的系统进化

将 CsSTR 蛋白序列与夹竹桃科植物蛇根木、

蛇根草,茜草科植物长春花、小蔓长春花,蓝果树科植物喜树,拟南芥,水稻中 STR 蛋白的序列进行比对,并构建了 STR 蛋白的系统进化树(结果见图 1).STR 蛋白可以分为四个类群(I~IV),蛇根木 STR 蛋白 CAA44208.1、长春花 STR 蛋白 CAA43936.1 和 CAA37671.1、萝芙木 STR 蛋白 AAY81922.1、小蔓长春花 STR 蛋白 AEY82399.1、短小蛇根草 STR 蛋白 BAB47180.1、日本蛇根草 STR 蛋白 ACF21007.1 以及喜树 STR 蛋白 AES93117.1 都位于类群 I 中.CsSTR、拟南芥 STR 和水稻 STR 在类群 I ~ III 中都有分布,类群 IV 则由水稻 STR 组成.对于 CsSTR 蛋白而言,类群 I 中有 7 个 CsSTR 成员(CsSTR3、4、10、11、12、13、14),类群 II 中有 4 个 CsSTR 成员(CsSTR9、15、16、17),类群 III 中有 6 个 CsSTR 成员(CsSTR1、2、5、6、7、8).

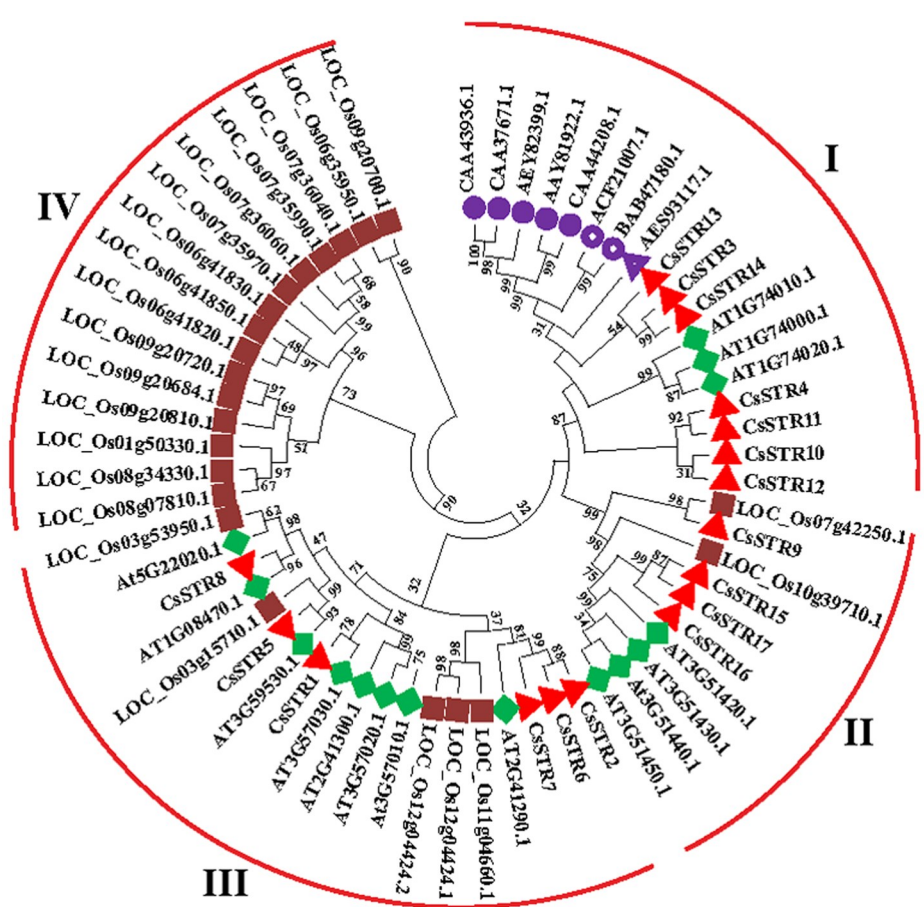


图 1 茶树 STR 蛋白与拟南芥、水稻、萝芙木、蛇根木、
蛇根草、短小蛇根草、长春花以及喜树中 STR 蛋白的系统进化树

Fig. 1 The phylogenetic tree of STRs in *Camellia sinensis*, *Arabidopsis*, *Oryza sativa*, *Rauvolfia verticillata*, *Rauvolfia serpentine*, *Ophiorrhiza japonica*, *Ophiorrhiza pumila*, *Catharanthus roseus* and *Camptotheca acuminate*

2.3 CsSTR 基因结构和保守蛋白基序

CsSTR 基因结构分析结果显示(图 2),除了 CsSTR8 和 CsSTR16 基因含有 6 个内含子, CsSTR1 和 CsSTR15 基因含有 4 个内含子,其他 CsSTR 基因的内含子数目都在 1~3 之间。进化关系较近的 CsSTR 基因间,其内含子数目和长度也不一样,暗示它们在进化过程中经历了不同的进化

事件。蛋白保守基序的分析发现(图 2),CsSTR 蛋白含保守基序的数量在 4~12 个之间。进一步分析发现,除了 CsSTR15 和 CsSTR17,进化关系较近的 CsSTR 蛋白间其保守基序的数量和类型都不相同;但进化关系较近的 CsSTR 蛋白间保守基序出现的先后顺序基本一致,提示它们可能具有某些生理功能的相似性。

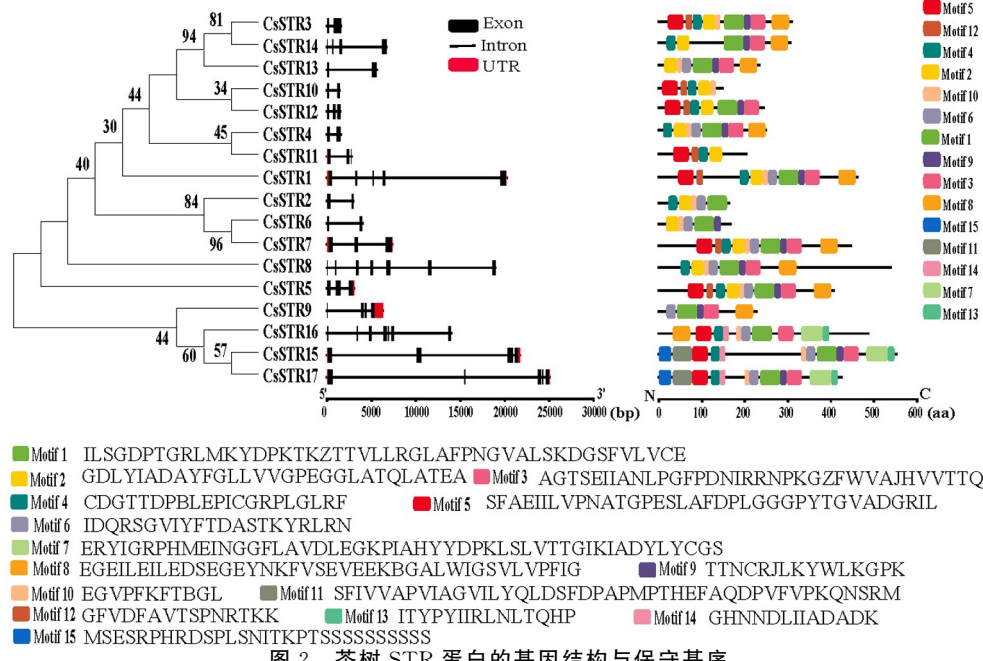


图 2 茶树 STR 蛋白的基因结构与保守基序

Fig. 2 Gene structures and conserved motifs of STR protein in tea plant

2.4 CsSTR 基因的表达模式

组织表达模式分析结果表明,进化关系较近的 CsSTR 基因常具有相似的组织表达模式(图 3A)。CsSTR1、2、3、4、8、12 基因在茶树顶芽中具有相对较高的表达量,CsSTR10 和 14 在茶树花中的表达量较高,CsSTR9 在茶树果中的表达量较高,茶树幼叶组织中 CsSTR5 基因的表达量较高,成熟叶中基因 CsSTR7、9 和 11 的表达量较高,CsSTR13、15、16、17 则在茶树的根中具有相对较高的表达量。与对照 CK 相比,低温冷驯化处理后,CsSTR17 与 CsSTR8、11 分别在低温驯化处理后 6 h(CA1_6h)和 7 d(CA1_7d)呈现明显上调表达;再冻驯化处理 7 d(CA2_7d)后,CsSTR4 基因明显上调表达,而基因 CsSTR1、7、17 则出现下调表达。脱驯化处理后(DA_7d),CsSTR1、9、15 的表达量下调,而 CsSTR3、5、8 的表达量上调(图 3B)。盐胁迫或 PEG 模拟干旱处理茶树后,基因 CsSTR2、4、6、10、11、13、14 的表达量无明显变化,CsSTR12 的表达量上调,其他 CsSTR 基因的表达量都呈现下调(图

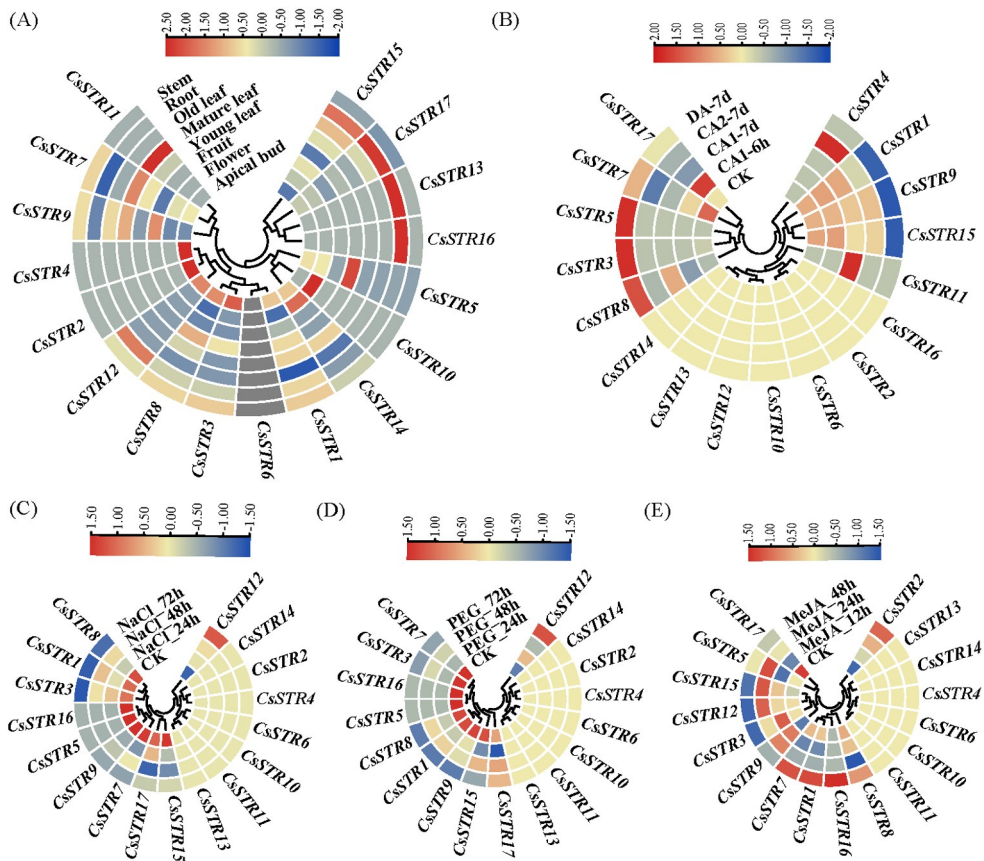
3C、D)。MeJA 处理 12 h 后,基因 CsSTR3、9、15 的表达量明显上调,而 CsSTR1、5、7、17 的表达量下调(图 3E)。MeJA 处理 24 h 后,CsSTR2、5、9、12 和 15 的表达量明显上调,CsSTR1、7、8、17 的表达量下调;MeJA 处理 48 h 后,CsSTR1、2、7、16 的表达量明显上调,CsSTR3、12、15、17 的表达量明显下调(图 3E)。

2.5 CsSTR 基因启动子的顺式作用元件

CsSTR 基因启动子区含有许多激素和逆境响应相关的顺式元件(图 4)。激素响应相关的顺式元件如 MeJA 响应元件 TGACG-motif 和 CGTCA-motif;赤霉素(Gibberellin, GA)响应元件 P-box、TATC-box 和 GARE-motif;脱落酸(Abscisic acid, ABA)响应元件 ABRE;水杨酸(Salicylic acid, SA)响应元件 TCA-element;生长素(Auxin)响应元件 TGA-element、AuxRR-core 等。逆境反应顺式元件如 TC-rich repeats、ARE、LTR、MBS、GC-motif、WUN-motif 等。CsSTR 基因启动子区顺式作用元件的数量在 6~20 个,其中 ARE、ABRE、

TGACG-motif、CGTCA-motif 和 TCA-element 是出现频率较高的顺式作用元件。这些分析结果表明

CsSTR 基因表达受内外因素的调节, 在茶树生长发育和逆境反应中发挥作用。



注:(A)不同组织,(B)冷冻驯化,(C)盐胁迫,(D)PEG模拟干旱胁迫,(E)MeJA处理。

图 3 *CsSTR* 基因表达热图

Fig. 3 Heat maps of *CsSTR* gene expression

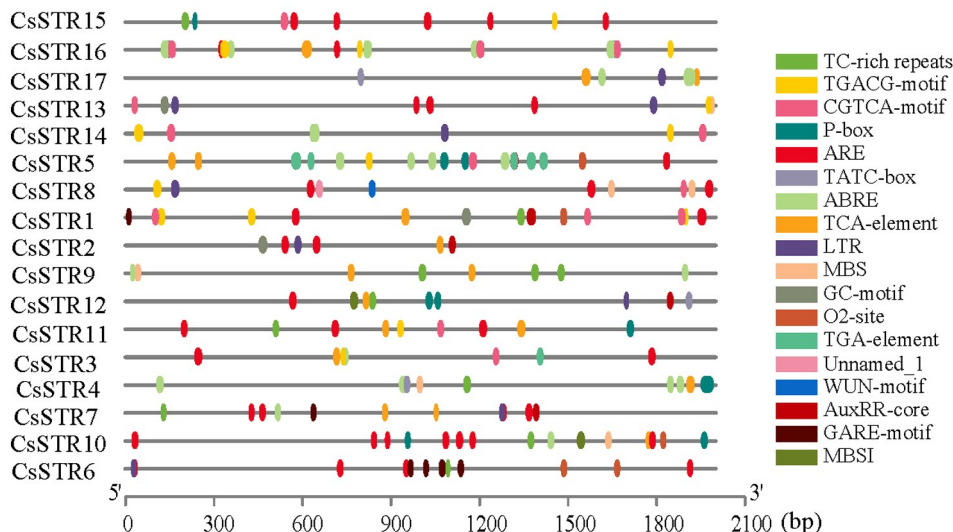
2.6 *CsSTR* 基因上游结合转录因子的调控网络

利用 17 个 *CsSTR* 基因起始密码子 ATG 上游 600 bp 的核酸序列, 对与 *CsSTR* 基因上游结合的转录因子进行了分析。结果显示(图 5), 共有 158 个转录因子与参与调控 17 个 *CsSTR* 基因的表达。ERF、Zinc finger、MYB、bZIP、HD-Zip、MADS 家族转录因子以及其他转录因子家族的少量成员在 *CsSTR* 基因上游呈现富集。其中, ERF 家族转录因子是与 *CsSTR* 基因上游结合最多的蛋白质, 共有 20 个 ERF 转录因子与 17 个 *CsSTR* 基因形成了 37 种调控关系, 其中一些 ERF 转录因子对几个 *CsSTR* 基因都具有调控作用, 如 Int-type ERF、ERF8、AP2 等。16 个 Zinc finger 转录因子、16 个 MYB 转录因子和 12 个 bZIP 转录因子与 *CsSTR* 基因分别形成了 26 种、17 种和 11 种调控关系。另一方面, 基因 *CsSTR3* 和 *CsSTR6* 上游只有一个转录因子识别位点, 分别为 MYB67 和 MYB23。基

因 *CsSTR16* 和 *CsSTR17* 上游调控转录因子数量较多, 分别有 21 和 32 个转录因子参与调控 *CsSTR16* 和 *CsSTR17* 基因的表达(图 5)。

3 讨论

茶是世界公认的三大健康饮料之一, 人们已从茶叶中发现包括生物碱、儿茶素、色素等化合物 600 多种。目前, 围绕 STR 人们已在多种植物中开展了系列研究, 但关于茶树 STR(*CsSTR*)的研究还未见报道。基于茶树基因组数据库, 我们共鉴定出 17 个 *CsSTR* 基因(表 1), 这与模式植物拟南芥(15 个 STR 基因)和水稻(21 个 STR 基因)中鉴定得到的 STR 基因数目相近, 表明 STR 基因数目在进化上比较保守。分析结果显示, *CsSTR* 基因及其蛋白在这些物理性状方面差异较大。茶树中多个 *CsSTR* 基因的存在及其展现出的不同物理性状, 提示它们在茶树生命活动中可能具有多方面的生



顺式元件	生物学过程
TC-rich repeats	cis-acting element involved in defense and stress responsiveness
TGACG-motif	cis-acting regulatory element involved in the MeJA-responsiveness
CGTCA-motif	cis-acting regulatory element involved in the MeJA-responsiveness
P-box	gibberellin-responsive element
ARE	cis-acting regulatory element essential for the anaerobic induction
TATC-box	cis-acting element involved in gibberellin-responsiveness
ABRE	cis-acting element involved in the abscisic acid responsiveness
TCA-element	cis-acting element involved in salicylic acid responsiveness
LTR	cis-acting element involved in low-temperature responsiveness
MBS	MYB binding site involved in drought-inducibility
GC-motif	enhancer-like element involved in anoxic specific inducibility
O2-site	cis-acting regulatory element involved in zein metabolism regulation
TGA-element	auxin-responsive element
Unnamed_1	cis-acting element involved in phytochrome down-regulation expression
WUN-motif	wound-responsive element
AuxRR-core	cis-acting regulatory element involved in auxin responsiveness
GARE-motif	gibberellin-responsive element
MBSI	MYB binding site involved in flavonoid biosynthetic genes regulation

图4 CsSTR 基因启动子区顺式调控元件的分布

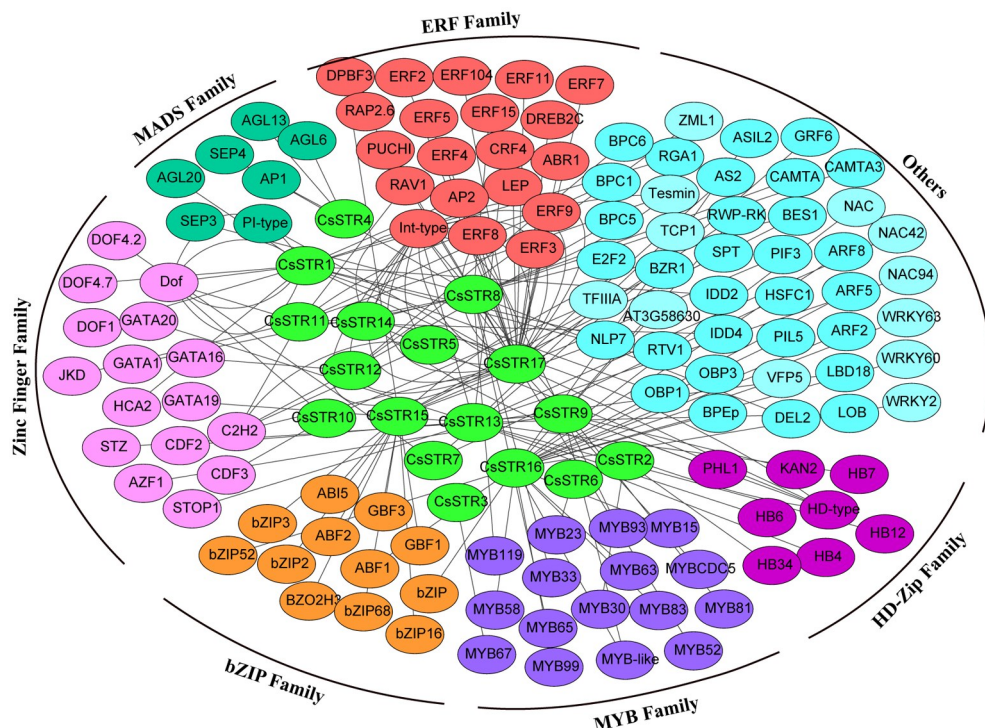
Fig. 4 Distribution of cis-regulation elements in the promoter regions of CsSTR genes

理功能。亚细胞定位预测分析显示, CsSTR 蛋白定位在液泡中(表 1), 这与报道的 STR 蛋白定位结果相同^[3], 但还需要后续进一步实验证实。进化关系较近的 CsSTR 基因其基因结构并不相同(图 1, 图 2), 表明他们在基因的表达调控上可能存在一定的差异性。

进化上同源关系较近的基因往往具有相似的生物学功能。已有研究表明, 蛇根木 STR 蛋白、蛇根草 STR 蛋白、长春花 STR 蛋白、以及小蔓长春花 STR 蛋白都具有催化色胺和裂环马钱子苷合成异胡豆苷的功能^[6,8-9]。KIBBLE 等^[29]的研究表明, 位于类群 I 中的拟南芥 STR 蛋白 AT1G74010.1、AT1G74000.1、AT1G74020.1 不具有催化合成异胡豆苷的生化功能, 因此, 类群 I 中的 CsSTR 蛋白是否具有催化异胡豆苷合成的生化活性尚需进一

步研究。类群 II 中拟南芥 STR 蛋白 AT3G51420.1、AT3G51430.1、AT3G51440.1、AT3G51450.1 在防卫反应中具有重要作用^[18], 类群 III 中水稻 STR 蛋白 LOC_Os03g15710.1 参与雄蕊的器官发育过程^[25], 提示类群 II 中 CsSTR15、16、17 以及类群 III 中 CsSTR5 可能分别在防卫反应和花发育中具有作用。

基因表达分析提示 CsSTR 基因在组织发育和抗逆反应中有重要作用。CsSTR2、3、4、7、8、9、11、12、14 在茶树芽和叶组织中具有较高的表达量(图 3A), 而且这些 CsSTR 基因启动子区大都含有激素响应元件(图 4), 暗示它们通过响应激素信号参与调控茶树芽和叶的发育。对 CsSTR 基因上游结合转录因子的分析结果显示, 多数在芽和叶中具有较高表达量的 CsSTR 基因上游具有 MADS,

图 5 *CsSTR* 基因上游结合转录因子的调控网络Fig. 5 Transcription factor regulatory network of *CsSTR* gene

MYB, ERF 和 Zinc Finger 结合位点(图 5),已有研究表明这些转录因子在植物芽和叶发育中有重要作用^[29-30].

茶树是一种以芽和叶利用为主的经济作物,对上述 *CsSTR* 基因的生化功能进行研究,鉴定出具有催化异胡豆苷合成活性的 *CsSTR* 基因,对于提高茶叶附加值有重要意义.

植物的抗寒反应主要分为受 CBF 调节或 ABA 调节的信号途径,低温下 ABA 调控基因的启动子区一般具有 ABRE 顺式反应元件,CBF 调节基因的启动子区一般还具有 LTR 顺式反应元件^[31-32].响应冷驯化处理的 *CsSTR* 基因启动子区都具有 ABRE 或 LTR 顺式反应元件(图 3,图 4),表明 CBF 或 ABA 调节的信号参与了调控这些 *CsSTR* 基因的表达.激素在调控植物的逆境反应中有重要作用^[33].盐胁迫和 PEG 模拟干旱胁迫处理下 *CsSTR* 基因的表达变化趋势基本一致,分析显示这些 *CsSTR* 基因的启动区大都具有防御和胁迫响应的 TC-rich repeats 元件和激素响应元件(图 3、图 4).响应 MeJA 处理的 *CsSTR* 基因启动子区大都具有 MeJA 反应元件(图 3、图 4).上游转录因子分析显示,ERF、Zinc Finger、MYB、bZIP、MADS、HD-Zip 等转录因子是与 *CsSTR* 基因上游结合最多的蛋白质(图 5).已有研究表明,这些转录因子在调控植物的低温反应、干旱、盐胁迫以及应

答 MeJA 信号中都具有重要作用^[29,33-35],表明在茶树遭受冷、干旱、盐胁迫、MeJA 信号诱导后, *CsSTR* 基因在这些转录因子的调控下参与相应的应答反应.在应答逆境或 MeJA 信号反应中, *CsSTR* 基因表达变化的时间和表达趋势并不一致(图 3),说明茶树对上述逆境或 MeJA 的应答反应是一个多基因参与的复杂调控过程,不同 *CsSTR* 基因可能受不同转录因子的调控.

4 结论

从茶树基因组鉴定出 17 个 STR 基因,对其蛋白理化特征进行了分析.除了 *CsSTR1,8,15,16*,大部分 *CsSTR* 基因的内含子数目都在 1~3 之间; *CsSTR* 蛋白含保守基序的数量在 4~12 之间. *CsSTR3,4,10,11,12,13,14* 与蛇根木、萝芙木、长春花和喜树中的 STR 位于同一进化分支.*CsSTR* 基因表达受低温、干旱、盐胁迫以及茉莉酸甲酯调控,大部分 *CsSTR* 基因在顶芽、成熟叶和根中的表达量较高.*CsSTR* 基因启动子区含有许多与生长发育和逆境反应相关的元件.ERF、MYB、Zinc Finger、bZIP 家族转录因子是与 *CsSTR* 基因启动子结合较多的蛋白.STR 是 TIA 合成的关键酶,而茶叶是一种具有重要健康的饮品,但其药理作用不清.哪些 *CsSTR* 基因真正具有催化异胡豆苷合成的生化功能?哪些 *CsSTR* 基因参与茶树逆境反

应,其应答机制是什么?还需要进一步的研究来对其进行解析.本研究为CsSTR的酶活鉴定和功能

分析提供了资料,对茶树药理作用的挖掘、利用,以及抗性育种都具有重要意义.

参考文献:

- [1] 向蓓蓓,朱晔荣,王勇.长春花吲哚生物碱合成途径的基因工程研究进展[J].生物学通报,2010,45(10):4-8.
XIANG Beibei, ZHU Yerong, WANG Yong. Research advances on biosynthetic pathway of pharmaceutical indole alkaloids by means of genetic engineering in *Catharanthus roseus*[J]. Bulletin of Biology, 2010, 45(10): 4-8.
- [2] SHARMA A, VERMA P, MATHUR A, et al. Overexpression of tryptophan decarboxylase and strictosidine synthase enhanced terpenoid indole alkaloid pathway activity and antineoplastic vinblastine biosynthesis in *Catharanthus roseus*[J]. Protoplasma, 2018, 255(5): 1281-1294.
- [3] BROWN S, CLASTRE M, COURDAVAULT V, et al. De novo production of the plant-derived alkaloid strictosidine in yeast[J]. Proceedings of the National Academy of Sciences of the United States of America, 2015, 112(11): 3205-3210.
- [4] ALMAGRO L, GUTIERREZ J, PEDREÑO M A, et al. Synergistic and additive influence of cyclodextrins and methyl jasmonate on the expression of the terpenoid indole alkaloid pathway genes and metabolites in *Catharanthus roseus* cell cultures[J]. Plant Cell, Tissue and Organ Cultur, 2014, 119(3): 543-551.
- [5] MCKNIGHT T D, BERGEY D R, BURNETT R J, et al. Expression of enzymatically active and correctly targeted strictosidine synthase in transgenic tobacco plants[J]. Planta, 1991, 185(2): 148-152.
- [6] YAMAZAKI Y, SUDO H, YAMAZAKI M, et al. Camptothecin biosynthetic genes in hairy roots of *Ophiorrhiza pumila*: Cloning, characterization and differential expression in tissues and by stress compounds[J]. Plant & Cell Physiology, 2003, 44(4): 395-403.
- [7] TREIMER J F, ZENK M H. Purification and properties of strictosidine synthase, the key enzyme in indole alkaloid formation[J]. European Journal of Biochemistry, 1979, 101(1): 225-233.
- [8] LU Y, WANG H S, WANG W, et al. Molecular characterization and expression analysis of a new cDNA encoding strictosidine synthase from *Ophiorrhiza japonica*[J]. Molecular Biology Reports, 2009, 36(7): 1845-1852.
- [9] 王泓,谌容,陈敏,等.萝芙木异胡豆昔合成酶基因的克隆与分析[J].西北植物学报,2006(5): 900-905.
WANG Hong, SHEN Rong, CHEN Min, et al. Cloning and analysis of strictosidine synthase in *Rauvolfia verticillata*[J]. Acta Botanica Boreali-Occidentalia Sinica, 2006, 26(5): 900-905.
- [10] STÖCKIGT J, BARLEBEN L, PANJIKAR S, et al. 3D-Structure and function of strictosidine synthase: The key enzyme of monoterpenoid indole alkaloid biosynthesis[J]. Plant Physiology and Biochemistry, 2008, 46(3): 340-355.
- [11] FACCHINI P J. Alkaloid biosynthesis in plants: biochemistry, cell biology, molecular regulation, and metabolic engineering applications[J]. Annual Review of Plant Physiology and Plant Molecular Biology, 2001, 52: 29-66.
- [12] GAUTAM S, MISHRA A, TIWARI A. *Catharanthus alkaloids* and their enhanced production using elicitors: A review[J]. International Journal of Pharmacy and Technology, 2011, 3(1): 713-724.
- [13] DE BERNONVILLE T D, CARQUEIJEIRO I, LANOUE A, et al. Folivory elicits a strong defense reaction in *Catharanthus roseus*: metabolomic and transcriptomic analyses reveal distinct local and systemic responses[J]. Scientific Reports, 2017, 7: 40453.
- [14] 刘英.环境胁迫对长春花TIAs生物合成的调控及相关基因表达分析[D].哈尔滨:东北林业大学,2010.
LIU Ying. Environmental regulation and gene expression analysis for biosynthesis of terpenoid indole alkaloids in *Catharanthus roseus*[D]. Harbin: Northeast Forestry University, 2010.
- [15] DUTTA A, SEN J, DESWAL R. New evidences about strictosidine synthase (Str) regulation by salinity, cold stress and nitric oxide in *Catharanthus roseus*[J]. Journal of Plant Biochemistry and Biotechnology, 2013, 22(1): 124-131.
- [16] MORENO P R H, POULSEN C, VAN DER HEIJDEN R, et al. Effects of elicitation on different metabolic pathways in *Catharanthus roseus*(L)G.Don cell suspension cultures[J]. Enzyme and Microbial Technology, 1996, 18(2): 99-107.
- [17] LIANG C X, CHEN C, ZHOU P F, et al. Effect of *Aspergillus flavus* fungal elicitor on the production of terpenoid indole alkaloids in *Catharanthus roseus* cambial meristematic cells[J]. Molecules, 2018, 23(12): 3276.
- [18] SOHANI M M, SCHENK P M, SCHULTZ C J, et al. Phylogenetic and transcriptional analysis of a strictosidine

- synthase-like gene family in *Arabidopsis thaliana* reveals involvement in plant defence responses[J]. Plant Biology, 2009, 11(1): 105-117.
- [19] WAHEED A, HAMID F S, SHAH A H, et al. Response of different tea (*Camellia sinensis* L.) clones against drought stress[J]. Journal of Materials and Environmental Science, 2012, 3(2): 395-410.
- [20] SU S W. Tea or coffee: a study of the beverage choice pattern and its affecting factors at teatime in Kaohsiung, Taiwan[J]. Asia Pacific Management Review, 2007, 12(4): 245-257.
- [21] WEI C L, YANG H, WANG S B, et al. Draft genome sequence of *Camellia sinensis* var. *sinensis* provides insights into the evolution of the tea genome and tea quality[J]. Proceedings of the National Academy of Sciences of the United States of America, 2018, 115(18): 4151-4158.
- [22] 周棋赢, 韩月华, 梁萍, 等. 茶树 NAC 基因的鉴定及其在逆境反应中的表达调控分析[J]. 信阳师范学院学报(自然科学版), 2020, 33(4): 567-578.
- ZHOU Qiying, HAN Yuehua, LIANG Ping, et al. Genome-wide identification of NAC genes in tea plant and its expression regulation in stress response[J]. Journal of Xinyang Normal University(Natural Science Edition), 2020, 33(4): 567-578.
- [23] BRACHER D, KUTCHAN T M. Strictosidine synthase from *Rauvolfia serpentina*: analysis of a gene involved in indole alkaloid biosynthesis[J]. Archives of Biochemistry and Biophysics, 1992, 294(2): 717-723.
- [24] SUN Y Z, LUO H M, LI Y, et al. Pyrosequencing of the *Camptotheca acuminata* transcriptome reveals putative genes involved in camptothecin biosynthesis and transport[J]. BMC Genomics, 2011, 12: 533.
- [25] KIBBLE N, SOHANI M M, SHIRLEY N, et al. Phylogenetic analysis and functional characterisation of strictosidine synthase-like genes in *Arabidopsis thaliana*[J]. Functional Plant Biology: FPB, 2009, 36(12): 1098-1109.
- [26] ZOU T, LI S C, LIU M X, et al. An atypical strictosidine synthase, OsSTR12, plays key roles in anther development and pollen wall formation in rice[J]. Scientific Reports, 2017, 7(1): 6863.
- [27] LI Y Y, WANG X W, BAN Q Y, et al. Comparative transcriptomic analysis reveals gene expression associated with cold adaptation in the tea plant *Camellia sinensis*[J]. BMC Genomics, 2019, 20(1): 624.
- [28] ZHANG Q, CAI M C, YU X M, et al. Transcriptome dynamics of *Camellia sinensis* in response to continuous salinity and drought stress[J]. Tree Genetics & Genomes, 2017, 13(4): 78.
- [29] LIU J Y, SHERIF M. Hormonal orchestration of bud dormancy cycle in deciduous woody perennials[J]. Frontiers in Plant Science, 2019, 10: 1136.
- [30] 张军霞, 郭巧生, 朱再标, 等. 老鸦瓣芽茎发育相关 MYB 转录因子家族鉴定与分析[J]. 中草药, 2021, 52(6): 1735-1743.
- ZHANG Junxia, GUO Qiaosheng, ZHU Zaibiao, et al. Identification and analysis of MYB transcription factor family related to stolon development of *Amana edulis*[J]. Chinese Traditional and Herbal Drugs, 2021, 52(6): 1735-1743.
- [31] 周棋赢, 韩月华, 潘娟娟, 等. 植物抗寒机理研究进展[J]. 信阳师范学院学报(自然科学版), 2019, 32(3): 511-516.
- ZHOU Qiying, HAN Yuehua, PAN Juanjuan, et al. Research progress in plant cold resistance mechanism[J]. Journal of Xinyang Normal University(Natural Science Edition), 2019, 32(3): 511-516.
- [32] SAZEGARI S, NIAZI A. Isolation and molecular characterization of wheat (*Triticum aestivum*) dehydration responsive element binding factor (DREB) isoforms[J]. Australian Journal of Crop Science, 2012, 6(6): 1037-1044.
- [33] GUPTA P, SHARMA R, SHARMA M K, et al. Signaling cross talk between biotic and abiotic stress responses in soybean[C]//MIRANSARI M. Abiotic and biotic stresses in soybean production. Oxford: Academic press, 2016: 27-52.
- [34] QI X W, FANG H L, YU X, et al. Transcriptome analysis of JA signal transduction, transcription factors, and monoterpene biosynthesis pathway in response to methyl jasmonate elicitation in *Mentha canadensis* L [J]. International Journal of Molecular Sciences, 2018, 19(8): 2364.
- [35] WANG K, DING Y F, CAI C, et al. The role of C₂H₂ Zinc finger proteins in plant responses to abiotic stresses[J]. Physiologia Plantarum, 2019, 165(4): 690-700.